

ریز رخساره‌ها و محیط رسوی سازند شهبازان در چاه شماره ۳ میدان نفتی قلعه نار، جنوب غرب لرستان

حسین قنبرلو^۱، حسین وزیری مقدم^۲، علی صیرفیان^۳، عزیزاله طاهری^۴ و علی رحمانی^۵

۱. دانشجوی کارشناسی ارشد چینه و فسیل‌شناسی، دانشگاه اصفهان، اصفهان، ایران

۲. استاد گروه زمین‌شناسی، دانشکده علوم، دانشگاه اصفهان، اصفهان، ایران

۳. استاد گروه زمین‌شناسی، دانشکده علوم، دانشگاه اصفهان، اصفهان، ایران

۴. استاد گروه زمین‌شناسی، دانشکده علوم، دانشگاه شاهروود، شاهروود، ایران

۵. شرکت ملی نفت ایران (اداره زمین‌شناسی مناطق نفت‌خیز جنوب)

تاریخ دریافت: ۹۴/۱۲/۱۸

تاریخ پذیرش: ۹۵/۰۴/۲۱

چکیده

در این مطالعه رخساره‌ها و محیط رسوی سازند شهبازان در چاه شماره ۳ میدان نفتی قلعه نار (جنوب غرب لرستان) مورد بررسی قرار گرفته است. ضخامت سازند شهبازان در چاه مورد مطالعه ۲۲۸ متر می‌باشد که عمدتاً از آهک و دولومیت تشکیل شده است. مرز پایینی این سازند با سازند پابده به صورت تدریجی و مرز بالای آن با سازند آسماری به صورت ناپیوسته در نظر گرفته شده است. سن سازند شهبازان در چاه مورد مطالعه اوسن میانی (اوبل لوتنین) تا اوسن بالایی (پریاپونین) می‌باشد. ۱۴ ریز رخساره براساس بافت رسوی و مطالعات سنگ‌شناختی و فسیل شناختی در چاه مورد مطالعه شناسایی شد. این رسوبات در زیر محیط‌های دریایی باز، سد و لگون بر جای گذاشته شده‌اند. با توجه به پراکندگی رخساره‌های معروفی شده، به نظر می‌رسد بخش‌های زیرین و بالایی سازند شهبازان در منطقه مورد مطالعه در دو محیط به نسبت متفاوت نهشته شده‌اند. رسوب‌گذاری در بخش زیرین در یک شلف باز و رسوب‌گذاری بخش بالایی در یک رمپ کربناته صورت گرفته است. علاوه بر این محیط تشکیل بخش زیرین سازند شهبازان به دو زیر محیط شلف خارجی و میانی و بخش بالایی را به زیر محیط‌های رمپ میانی و داخلی می‌توان تقسیم کرد. تبدیل پلت فورم در این سازند از شلف باز به رمپ هموکلینال بر اثر عواملی از قبیل نرخ تولید و ضربه انتقال و شرایط تکتونیکی حاکم بر حوضه رسوی بوده است.

واژه‌های کلیدی: رمپ، سازند شهبازان، شلف باز، قلعه نار.

مقدمه

زون لرستان واقع شده‌اند. نام سازند شهبازان، برگرفته از رستای شهبازان است که در کنار راه آهن اندیمشک - دورود در لرستان قرار دارد (آقانباتی، ۱۳۸۵ و مطیعی، ۱۳۷۲). لیتوژوئی این سازند در محل برش الگو شامل $332/8$ متر دولومیت و آهک دولومیتی با رنگ هوازده سفید تا قهوه‌ای،

زاگرس براساس شکل ساختاری و تاریخچه رسوب‌گذاری به پنج بخش لرستان، فارس، زاگرس مرتفع، فروافتادگی دزفول و ایذه تقسیم شده است (Berberian and King, 1981; Falcon, 1974). سازندهای آسماری و شهبازان در چاه شماره ۳ میدان نفتی قلعه نار در بخش جنوبی

* نویسنده مرتبط: hossein6369@gmail.com

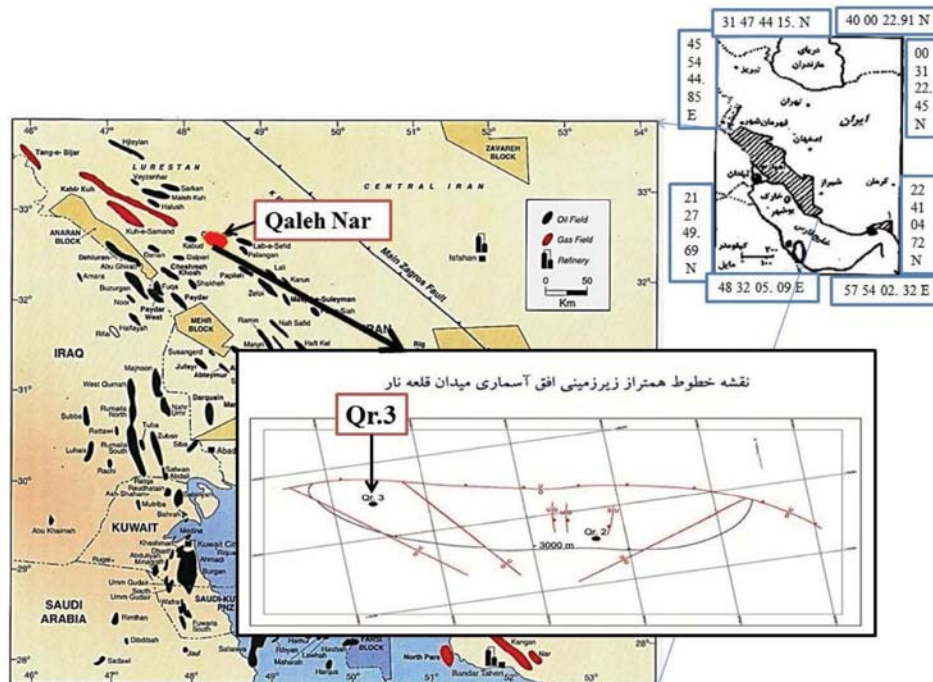
روش مطالعه

به منظور رسیدن به اهداف تعیین شده، از چاه مورد مطالعه در مجموع ۵۶۴ مقطع نازک برای مطالعات ریز رخساره و محیط رسوی سازند شهبازان تهیه شد که از این تعداد ۴۷۱ مقطع نازک به مغزه حفاری و ۹۰ مقطع نازک نیز به خردۀای حفاری تعلق دارد. تقسیم‌بندی ریز رخساره‌ها بر مبنای طبقه‌بندی (Flugle, 2010) و شناسایی بافت‌ها بر اساس رده‌بندی (Wright, 1992)، (Dunham, 1962) و (Embry and Klovan, 1971) انجام شده است.

موقعیت جغرافیایی منطقه

رخنمون مورد مطالعه سازند شهبازان در چاه شماره ۳ در میدان نفتی قلعه نار قرار دارد. میدان نفتی قلعه نار در حاشیه شمالی فرو افتادگی دزفول قرار گرفته است (سراج، ۱۳۸۴)، که از لحاظ موقعیت جغرافیایی در محدوده مختصاتی $17^{\circ}44' \text{E}$ و $32^{\circ}43'54'' \text{N}$ عرض شمالی و $48^{\circ}17'44'' \text{E}$ طول شرقی قرار دارد و حدود چهار کیلومتری شرق جاده انديمشك-بيدرويه واقع شده است (سراج، ۱۳۸۴؛ بختيارى، ۱۳۹۲) (شکل ۱).

ضخیم لایه، متخلخل و شکری می‌باشد (مطیعی، ۱۳۷۲). این سازند به طور پیوسته بر روی سازند آواری کشکان و به طور ناپیوسته در زیر سازند آسماری قرار دارد (آقانباتی، ۱۳۸۵). مرز پایینی این سازند با سازند پابده در چاه مورد مطالعه از نوع تدریجی و از آهک و شیل تشکیل شده است که به تدریج به سمت بالا کاملاً آهکی می‌شود. این مرز از عمق ۳۵۶۰ متری تا ۳۵۲۰ متری را شامل می‌شود. مرز بالای سازند شهبازان با سازند آسماری از نوع ناپیوسته می‌باشد و تشخیص مرز براساس داده‌های فسیلی انجام پذیرفته است. در سازند شهبازان براساس توزیع فسیل‌ها و مطالعات دیرینه‌شناسی، سه زون تجمعی شناسایی شد که زون تجمعی شماره ۱، سن اوایل لوتنین و زون تجمعی شماره ۲، سن اوخر بارتونین و در نهایت زون تجمعی شماره ۳، سن پریابونین را نشان می‌دهند. در نتیجه سن این سازند در چاه مورد مطالعه ائوسن میانی (اوایل لوتنین) تا ائوسن بالای (پریابونین) می‌باشد (قنبولو و همکاران، ۱۳۹۴). هدف از این بررسی تشخیص رخساره‌ها و محیط رسوی سازند شهبازان در چاه مورد مطالعه است. از آنجایی که مطالعات گسترده‌ای درخصوص سازند شهبازان صورت نگرفته این مطالعات می‌تواند در اکتشاف و توسعه میادین نفتی و تفسیر جغرافیای دیرینه کمک شایانی کند.



شکل ۱. موقعیت جغرافیایی میدان نفتی قلعه نار (سراج، ۱۳۸۴ و عظیمی، ۱۳۹۱)

Afzaisheh pida mi nemayid. Faraonieh inقطعات خرد شده حاکی از حمل آنها از بخش‌های کم‌عمق و انتقال آنها به بخش‌های عمیق‌تر است.

S2) Planktonic foraminifera bioclastic wackestone–packstone

از اجزای اصلی سازنده آن می‌توان به قطعات اسکلتی بهشت خرد شده از قبیل فرامینیفرهای بدون منفذ (*Archaias*, *Haymanella*, *Praerhapydionina*, *Peneroplis*, *Dendritina*, *Miliolids*) منفذ دار (*Discorbis*, *Nummulite*, *Spiroclypeus*, *Discocyclina*, *Operculina*, *Haplophragmium*, *Heterostegina*, *Neorotalia*, *Lenticulina*, *Elphidium*) استراکد، فرامینیفرهای بنتیک ریز، بریوزئر، اکینید، دوکفه‌ای، گاستروپد، برکیوپود، مرجان، و فرامینیفرهای پلانکتون اشاره کرد. ولی مقدار فرامینیفرهای پلانکتون کمتر از ریز رخساره قبلی است. از اجزای غیر اسکلتی نیز پلوبئید در این ریز رخساره مشاهده می‌شود (شکل ۲).

تفسیر: بافت این ریز رخساره گل پشتیبان تا دانه پشتیبان بوده که نشان‌دهنده رسوب‌گذاری در آب‌های نسبتاً آرام است. همچنان حضور پلانکتون‌ها دلیلی بر عمق بودن محل تشکیل آن می‌باشد. حمل شدگی و خردشده‌گی تقریباً در همه قطعات اسکلتی به جز فرامینیفرهای پلانکتون مشاهده شده که حاکی از حمل آنها از بخش‌های کم‌عمق‌تر (از شلف‌های میانی و داخلی) به بخش‌های عمیق‌تر (شلف خارجی) می‌باشد (Flugel, 2010; Knorich and Mutti, 2003). این ریز رخساره به همراه ریز رخساره S1 معادل کمربند دو ویلسون (Wilson, 1975) و SMF-3 و RMF-5 فلوگل (Flugel, 2010) می‌باشد.

S3) Peloid bioclastic packstone

اجزای اسکلتی تشکیل‌دهنده این ریز رخساره شامل قطعات خرد شده فرامینیفرهای منفذدار (*Spiroclypeus*, *Operculina*, *Discorbis*, *Nummulite*, *Discocyclina*, *Heterostegina*, *Neorotalia*, *Elphidium*, *Lenticulina*) فرامینیفرهای بدون منفذ (*Archaias*, *Haymanella*, *Praerhapydionina*, *Peneroplis*, *Miliolids*,

مطالعه و بررسی میکروسکوپی سازنده شهیاران در برش مورد مطالعه به شناسایی ۱۴ ریز رخساره انجامیده است. تفکیک ریز رخساره‌ها بر اساس اجزای اسکلتی، غیر اسکلتی و بافت است. تفسیر و توصیف ریز رخساره‌ها به شرح زیر است:

S1) Bioclastic planktonic foraminifera wackestone–packstone

این ریز رخساره بیشتر در بخش پایین توالی دیده می‌شود و روزن‌داران پلانکتون اصلی ترین دانه تشکیل‌دهنده آن است. به میزان کمتر قطعات اسکلتی بهشت خرد شده مانند (*Miliolids*, فرامینیفرهای منفذ دار, *Discocyclina*, *Operculina*, *Heterostegina*, *Lenticulina*, *Neorotalia*) اکینید، دوکفه‌ای، گاستروپد، *Lithophyllum*, فرامینیفرهای بنتیک ریز, *Dendritina* و *Haplophragmium* حضور دارد. تنها دانه غیر اسکلتی مشاهده شده در این ریز رخساره پلوبئید می‌باشد (شکل ۲).

تفسیر: روزن‌داران پلانکتون در رخساره‌های دریایی باز و عمق بیش از ۲۰۰ متری به فراوانی یافت می‌شوند (Geel, 2000; Flugel, 2010; Knoerich and Mutti, 2003) فرامینیفرهای بزرگ نشان‌دهنده رسوب‌گذاری این رخساره زیر زون نوری می‌باشد (Geel, 2000; Cosovic et al., 2004) بافت موجود در این ریز رخساره گل پشتیبان (وکستون) تا دانه پشتیبان (پکستون) است که نشان‌دهنده انرژی متوسط در محل تشکیل این رخساره می‌باشد (Geel, 2000; Flugel, 2010). همچنان زمینه گلی بیانگر شرایط آرام و کم انرژی آب‌های عمیق شلف خارجی است (Kovacs and Arnaud, 2000; Kovacs and Arnaud, 2003) در Vanneau, 2004; Konerich and Mutti, 2003) برخی مقاطع با کاهش درصد روزن‌داران شناور، درصد قطعات اسکلتی بهشت خرد شده از قبیل فرامینیفرهای بدون منفذ (*Archaias*, *Haymanella*, *Praerhapydionina*, *Miliolids*)، فرامینیفرهای منفذدار (*Discorbis*, *Nummulite*, *Discocyclina*, *Operculina*, *Haplophragmium*, *Neorotalia*, *Lenticulina*, *Elphidium*)، استراکد، فرامینیفرهای بنتیک ریز، بریوزئر، اکینید، دوکفه‌ای، گاستروپد، برکیوپود، مرجان و

S5) Bioclastic Neorotalia peloid packstone

اصلی‌ترین دانه اسکلتی این ریز رخساره *Neorotalia* می‌باشد. از اجزای اسکلتی فرعی می‌توان به قطعات اکینید، *Nummulites* و روزن‌داران بنتیکی مانند، *Lithophyllum* و *Elphidium* و *Miliolids* اشاره کرد. عناصر غیر اسکلتی این ریز رخساره شامل پلوبئید می‌باشد (شکل E.2).

تفسیر: تنوع فونی و حضور فونای دریایی باز حاکی از تنشست این رخساره در بخش‌های کم‌عمق تر دریایی باز است. *Neorotalia* ها که در این رخساره به فراوانی حضور دارند شاخص آب‌های کم‌عمق و آشفته می‌باشند (Flugel, 2010; Pomar, 2001; Geel, 2000; Cosovic et al., 2004). این ریز رخساره را می‌توان معادل کمریند چهار ویلسون (Wilson, 1975) و RMF-7 و SMF-10 فلوگل (Flugel, 2010) دانست.

S6) Coral Nummulitidae rudstone

این ریز رخساره اساساً از قطعات مرجان و *Nummulites* تشکیل شده است. اجزای فرعی اسکلتی آن شامل *Discocyclina*, *Miliolids* و خردوهای اکینید، دوکفه‌ای، *Lithophyllum* و بریوزئر می‌باشد (Figure 2F). فراوانی سنگ را روستون نامید.

تفسیر: با توجه به بافت رسوی، حضور فونای دریایی باز از قبیل نومولیتیس‌های بزرگ و کشیده و عدم حضور فرامینیفرهای شاخص لگون و موقعیت چینه نگاری، محیط تنشست ریز رخساره شش را می‌توان به بخش‌های کم‌عمق دریایی باز با انرژی متوسط و بین سطح اساس امواج طوفانی و امواج عادی نسبت داد (Geel, 2000; Pomar, 2001; Flugel, 2010; Cosovic et al., 2004).

S7) Bioclastic corallinacean coral wackestone – packstone– floatstone– rudstone

اجزای آلی اصلی این ریز رخساره شامل کورال و جلبک کورالیناسه آمی‌باشد. اجزای فرعی اسکلتی شامل *Astrotrillina*, *Miliolids* و *Amphistegina* است. از اجزای غیر اسکلتی این ریز رخساره می‌توان به پلوبئید اشاره کرد. از مشخصات این ریز رخساره افزایش مقدار کورالیناسه

(*Planorbolina*)، استراکد، فرامینیفرهای بنتیک ریز، بریوزئر، اکینید، *Haplophragmium*، دوکفه‌ای، گاستروپد، خردوهای *Lithophyllum* و *Textularia*, *Sphaerogypsina* می‌باشد. در این ریز رخساره نیز تنها جزء غیر اسکلتی شناسایی شده پلوبئید است (شکل C.2).

تفسیر: فقدان روزن‌داران شناور، بافت سنگ و موقعیت چینه نگاری حاکی از نهشته شدن این ریز رخساره در بخش دیستال شلف میانی می‌باشد. فراوانی قطعات اسکلتی خرد شده مناطق کم‌عمق، حاکی از حمل آنها از بخش‌های کم‌عمق تر به این بخش از حوضه بوده است.

بافت موجود در این ریز رخساره دانه پشتیبان (پکستون) می‌باشد که نشان‌دهنده انرژی نسبتاً بالای محیط رسوی گذاری می‌باشد. محل تشکیل این رخساره بخش دیستال شلف میانی و بالای سطح اساس امواج طوفانی می‌باشد (Flugel, 2010). خرد شدگی قطعات تشکیل‌دهنده حاکی از حمل آنها از بخش‌های کم‌عمق تر به این بخش از حوضه بوده است.

S4) Peloid bioclastic Nummulitidae packstone – rudstone

های بزرگ اجزای اصلی تشکیل‌دهنده این *Nummulites* ریز رخساره می‌باشند. اجزای اسکلتی دیگر آن *Operculina*, *Discocyclina*, (*Heterostegina*, *Amphistegina*, *Elphidium* خردوهای اکینید، دوکفه‌ای، *Lithophyllum*, مرجان، بریوزئر، *Sphaerogypsina* و *Orbitolites* هستند. پلتها از اجزای غیر اسکلتی این ریز رخساره هستند (شکل D.2).

تفسیر: *Nummulites* های بزرگ و متوسط در شرایط شوری نرمال دریایی و در مناطق کم‌عمق و نیمه عمیق (۵۰-۸۰ متر) دیده می‌شوند. به دلیل حضور فونهای دریایی باز می‌توان نتیجه گرفت که این ریز رخساره در دریایی باز و نزدیک سطح اساس امواج عادی تنشین شده است (Kovacs and Arnaud-Vanneau, 2004; Geel, 2000; Rasser et al., 2005) و همچنین این ریز رخساره معادل کمریند چهار ویلسون (Wilson, 1975) و RMF-7 و SMF-10 فلوگل (Flugel, 2010) می‌باشد.

احتمالاً حمل شدگی توسط جریان آب، تخریب و تغذیه توسط ماهیان و اکینیدها بوده است-Beavington (Penney et al., 2005). این ریز رخساره به علت بافت دانه پشتیبان (پکستون-گرینستون) موجود در آن در زیر و نزدیک قاعده امواج عادی تشکیل شده است و نشان‌دهنده شرایط نسبتاً بالای انرژی در محیط است Beavington-Penney (et al., 2005; Flugel, 2010)

S9) Bioclastic foraminifera (perforate and imperforate) packstone- grainstone

اجزای اصلی این رخساره شامل فرامینیفرهای منفذدار (*Nummulites*, *Amphistegina*, *Operculina*) و فرامینیفرهای بدون منفذ (*Miliolids*, *Peneroplis*, *Astrotrillina*), می‌باشد. اجزای فرعی غیراسکلتی و اسکلتی آن شامل پلوئید و *Elphidium*, *Neorotalia*, *Sphaerogypsina*, *Textularia*, *Dendritina*, *Heterostegina*, *Discocyclina* و خرده‌های *Lithophyllum*, *Lithothamnium*, داسی کلاداسه آ، دوکفه‌ای، اکینید، گاستروپد، کورال و بریوزئر می‌باشند (شکل ۳).

S10) Bioclastic foraminifera (imperforate) corallinacean coral packstone- grainstone – rudstone

خرده‌های اسکلتی تشکیل‌دهنده این ریز رخساره کورالیناسه آ (*Lithophyllum*) و *Lithothamnium*، اکینید، دوکفه‌ای، گاستروپد، بریوزئر و مرجان می‌باشند. از روزن‌داران کفزی با دیواره بدون منفذ می‌توان به *Peneroplis* و *Miliolids* و *Triloculina* اشاره کرد. روزن‌داران کفزی با دیواره منفذدار مانند *Neorotalia*, *Nummulites*, *Heterostegina*, *Amphistegina*, *Operculina* پایین وجود دارند (شکل ۳).

S11) Bioclastic Neorotalia miliolids packstone- grainstone

اجزای اصلی این ریز رخساره *Miliolids* و *Neorotalia* می‌باشند. *Astrotrillina*, *Peneroplis* با درصد پایین در این ریز رخساره دیده می‌شوند. از دیگر اجزای اسکلتی و غیراسکلتی می‌توان به ترتیب به خرده‌های گاستروپد، بریوزئر، پلوئید اشاره کرد (شکل ۳).

آ در بعضی از مقاطع نازک می‌باشد (شکل ۲.G).

تفسیر: جلبک‌های قرمز در بخش‌های کم‌عمق محیط یوفوتیک تا بخش‌های عمیق الیگوفوتیک رشد می‌کنند (Kovacs and Arnaud-Vanneau, 2004). آنها در جلوی ریف و دریای باز به فراوانی یافت می‌شوند (Basso, 1998). بافت موجود در این ریز رخساره گل پشتیبان (وکستون) تا دانه پشتیبان (پکستون) است که نشان‌دهنده انرژی متوسط در محل تشکیل این رخساره می‌باشد (Geel, 2010; Flugel, 2010; S6). محل تشکیل این ریز رخساره مشابه ریز رخساره 2000 باشد. این ریز رخساره و ریز رخساره S6 را می‌توان معادل با کمرنند چهار ویلسون (Wilson, 1975) و RFM-12 و SMF 7 فلوگل (Flugel, 2010) در نظر گرفت.

S8) Bioclastic grainstone

قطعات اصلی تشکیل‌دهنده این ریز رخساره خرده‌های اکینید و دوکفه‌ای هستند. به علت انرژی زیاد گل از محیط شسته شده و فضای بین دانه‌ها بعداً توسط کلسیت اسپاری پرشده است و دانه‌ها از جورشدنگی خوبی برخوردارند (شکل ۲.H).

تفسیر: با توجه به بافت دانه پشتیبان، جورشدنگی خوب دانه‌ها و نبود زمینه گلی، محل تشکیل این ریز رخساره محیط پرانرژی سد (کمرنند شش ویلسون و RMF-56 فلوگل) و در بالای خط امواج نرمال در نظر گرفته می‌شود. این ریز رخساره مشابه SMF11 فلوگل می‌باشد (Wilson, 1975; Flugel, 2010).

S8-1) Nummulitidae Bioclastic packstone- grainstone

این ریز رخساره به عنوان رخساره فرعی S8 در نظر گرفته شده است. خرده‌های اسکلتی از قبیل اکینید، گاستروپود، کورال و دوکفه‌ای و فرامینیفرهایی با پوسته هیالین از قبیل *Heterostegina*, *Nummulites* از سازندگان اصلی این ریز رخساره هستند. از اجزای اسکلتی فرعی مشاهده شده در این ریز رخساره می‌توان به *Amphistegina*, *Neorotalia* و *Elphidium* اشاره کرد. در این ریز رخساره فرعی نیز آلوکم‌های اسکلتی دارای حاشیه میکریتی شده هستند (شکل ۳.A).

تفسیر: نومولیتیدهای موجود در این ریز رخساره فرعی آسیب دیده و دارای حاشیه شکسته هستند که علت آن

Neorotalia و خرده‌های برویوزئر، دوکفه‌ای، گاستروپد، کورال، اکینید و داسی کلاداسه آمی باشند (شکل ۳). تفسیر: روزن داران بدون منفذ بیشتر در آب‌های کم عمق و با شوری بالا یافت می‌شوند و نشان‌دهنده رمپ داخلی محصور می‌باشند (Romoro et al., 2002; Geel, 2000). بافت موجود در این ریز رخساره از گل پشتیبان تا دانه پشتیبان تغییر می‌کند که نشان‌دهنده اثری متوسط تا نسبتاً بالا در محیط می‌باشد. فراوان بودن بی‌منفذهای پورسلانوژ، نشانگر نهشته شدن این رخساره در محیطی با شوری نسبتاً بالا است. شباهت ریز رخساره فوق با رخساره‌های استاندارد معرفی شده توسط (Flugel 2010) (RMF-20) و Wilson (RMF-20) (Vaziri-Moghaddam et al., 2006; Brandano et al., 2009).

S14) Bioclastic peloid miliolids wackestone – packstone

Miliolids از اجزای اصلی اسکلتی و پلوئید از اجزای غیر اسکلتی اصلی این ریز رخساره می‌باشند. از اجزای فرعی این رخساره می‌توان به *Neorotalia*, *Astrotrillina*, *Dendritina*, *Discorbis*, *Elphidium* دوکفه‌ای و داسی کلاداسه آشاره کرد. اجزای فوق در زمینه‌ای از میکرایات دانه ریز قرار گرفته‌اند (شکل ۳).

تفسیر: Miliolids در محیط‌های آرام و با شوری بالا یافت می‌شود و حضور Miliolids نشان‌دهنده رمپ داخلی محصور و محیط‌های غنی از مواد غذایی پشت ریف (Geel, 2000; Hottinger, 1997; Reiss and Hottinger, 1984). تنوع کم فونا و غالب بودن گل، نشانگر کم ارزشی بودن محیط و ارتباط محدود آن با دریای باز است. (Flugel, 2010) همچنین این ریز رخساره می‌تواند معادل کمریند هشت ویلسون (Wilson, 1975) و RMF-20 (Flugel, 2010) باشد. Miliolids ها در انواع محیط‌های (Flugel, 2010) آبی کم عمق از نیمه شور تا خیلی شور و محیط‌های پشت ریف که میزان مواد مغذی زیاد است، قادر به زندگی هستند. (Reiss and Hottinger, 1984) بر اساس موارد ذکر شده این ریز رخساره در بخش‌های محصور تر تالاب و نزدیک‌تر به محیط جزرومدی تشکیل شده است.

تفسیر: حضور هم‌زمان روزن داران کفرزی با پوسته منفذ دار و بدون منفذ و همچنین سایر عناصر اسکلتی موجود در ریز رخساره‌های S9، S10 و S11 نشان‌دهنده تنشیست آنها در یک رمپ داخلی نیمه محصور می‌باشد. همراه بودن موجودات کولاپی و دریای باز نشان‌دهنده نبود (Vaziri - Moghaddam et al., 2010; Beavington-Penney 2002, and Racey; 2004,) (Wilson, 1975) می‌توان معادل کمریند هفت ویلسون (Wilson, 1975) و فلوگل (Flugel, 2010) در نظر گرفت.

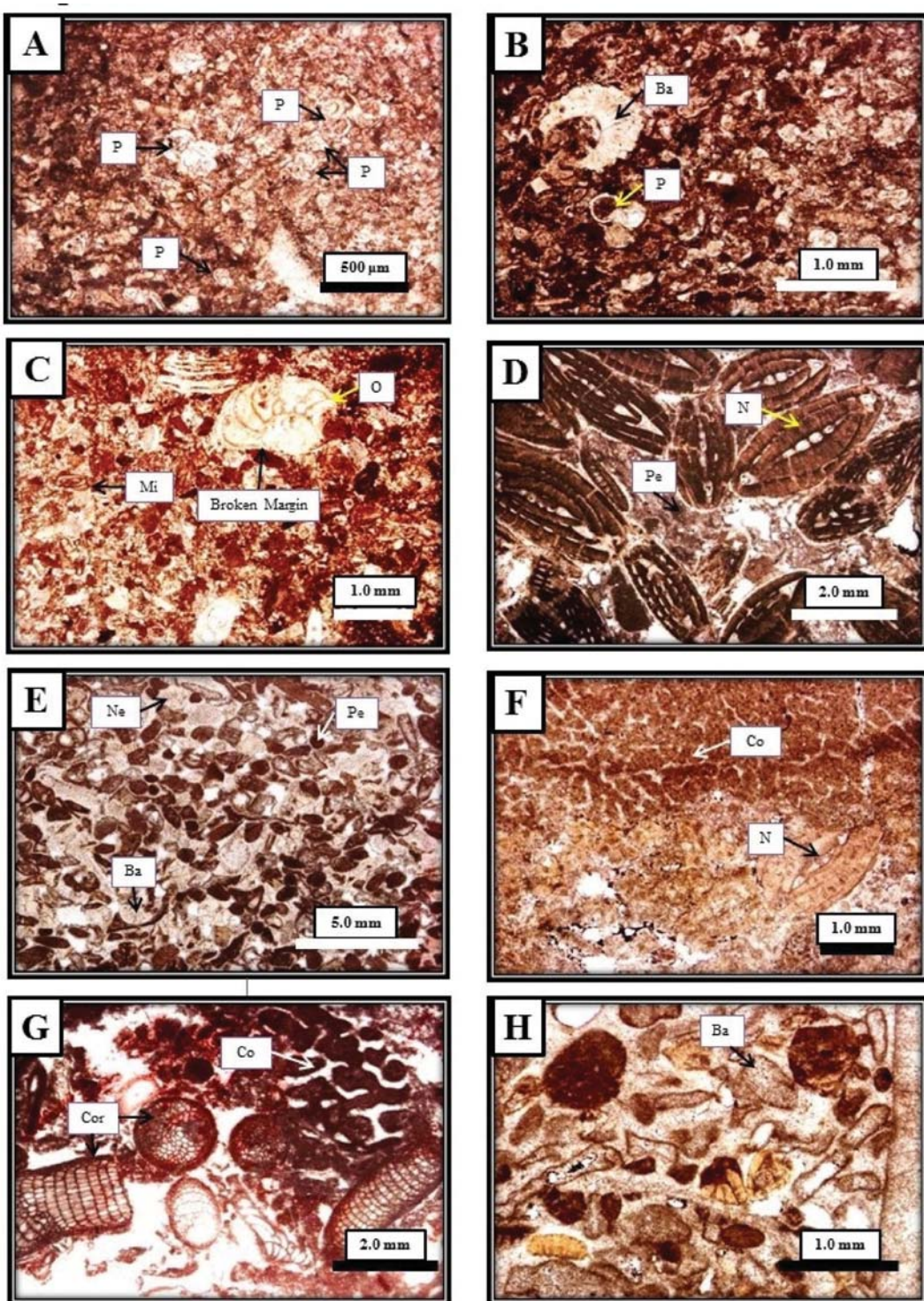
S12) Bioclastic *Neorotalia Amphistegina* packstone

Neorotalia و *Amphistegina* تشکیل دهنده اصلی این ریز رخساره می‌باشند. از اجزای اسکلتی فرعی می‌توان به *Miliolids*, *Operculina*, *Nummulites*, *Elphidium* خرده‌های اکینید، مرجان و *Lithophyllum* اشاره کرد (شکل ۳).

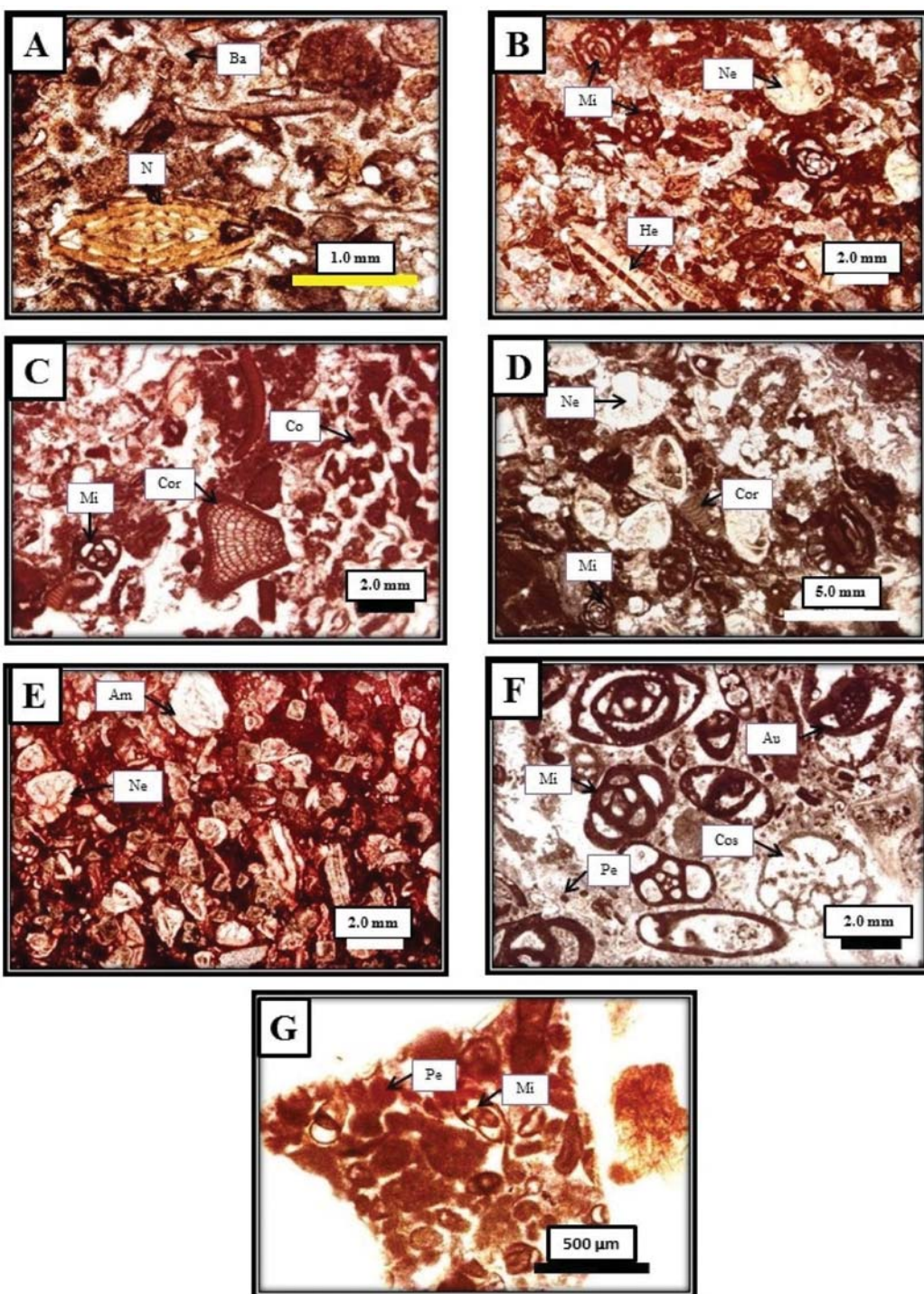
تفسیر: با توجه به حضور *Neorotalia* هایی با دیواره ضخیم که معرف آب‌های متلاطم، پرنور و کم عمق می‌باشند (به دلیل جلوگیری از آسیب رساندن نور به جلبک‌های همزیست و دیواره صدف) و همچنین همراه بودن این ریز رخساره با ریز رخساره‌های رمپ داخلی در توالی چینه‌شناسی، محیط تشکیل این ریز رخساره را می‌توان به رمپ داخلی نیمه محصور نسبت داد. بافت دانه پشتیبان آن نشانگر اثری بالای محیط و نزدیک بودن آن به سد بایو کلستی می‌باشد (Beavington-Penney 2000, Flugle, 2010) (and Racey; 2004, Geel, 2000, Flugle, 2010) ریز رخساره نیز مانند ریز رخساره‌های S9، S10 و S11 معادل کمریند هفت ویلسون (Wilson, 1975) و RMF-20 (Flugel, 2010) می‌باشد.

S13) Bioclastic peloid foraminifera (imperforate) wackestone – packstone – grainstone

از روزن داران بی‌منفذ اصلی تشکیل دهنده این ریز رخساره *Praehapdydionina*, *Peneroplis*, *Miliolids*, *Archaias* و *Triloculina*, *Astrotrillina* اشاره کرد. پلوئید از اجزای غیر اسکلتی این ریز رخساره می‌باشد. اجزای فرعی شامل *Textularia*, *Discorbis*, *Discocyclina*,



شکل ۲
Bioclastic planktonic foraminifera packstone, Sample number 35143, P: Plankton foraminifera; (A .۲
;Planktonic foraminifera bioclastic packstone, Sample number 3480.75, P: Plankton foraminifera, Ba: Bioclast (B
Peloid bioclastic Nummulitidae (D ;Peloidal bioclastic packstone, Sample number 3466, O: Operculina, Mi: miliolids (C
Bioclastic Neorotalia peloid grainstone, (E ;packstone - rudstone, Sample number 3425.25, N: Nummulites, Pe: Peloid
Coral Nummulitidae rudstone, Sample number (F Sample number 3420, Ne: Neorotalia, Pe: Peloid, Ba: Baioclast;
Bioclastic corallinacean coral rudstone, Sample number 3416.75, Co: Coral, (G ;3419, Co: Coral, N: Nummulites
Bioclast grainstone, , Sample number 3429.50, Ba: Bioclast (H ;Cor: Corallinacean



شکل ۲. Bioclastic (B ;Nummulitidae Bioclastic grainstone, Sample number 3425.25, Ba: Biolast, N: Nummulites (A .۲ foraminifera (perforate and imperforate) packstone- grainstone, Sample number 3408.75, Mi: miliolids, Ne: Neorotalia, Bioclastic foraminifera (imperforate) corallinacean coral grainstone- rudstone, Sample number (C ;He: Heterostegina Bioclastic Neorotalia miliolids packstone- grainstone, (D ;3416.50, Mi: miliolids, Co: Coral, Cor: Corallinacean Bioclastic Neorotalia Amphistegina (E ;Sample number 3389.50, Mi: miliolids, Ne: Neorotalia, Am: Amphistegina; F) Bioclastic peloid foraminifera (imperforate) Bioclastic (G ; grainstone, Sample number 3387.25, Mi: miliolids, Pe: Peloid, Au: Austrotrillina, Cos: Coskinolina peloid miliolids packstone, Sample number 3358 Mi: miliolids, Pe: Peloid

نومولیتیده رودستون (S6) می‌باشد. در قسمت‌های کم‌عمق یا نزدیک شلف میانی^۲ روزن‌داران هیالین با اندازه کوچک‌تر و دیواره ضخیم‌تر غالب هستند درحالی‌که در قسمت‌های عمیق‌تر و دورتر شلف میانی روزن‌داران با پوسته هیالین، اندازه بزرگ‌تر و پهن‌تری پیدا می‌کنند؛ Hottinger, 1987; Romero et al., 2002). ریز رخساره پلوبئید با یوکلستیک پکستون (S3) در بخش دیستال شلف میانی و ریز رخساره با یوکلستیک پکستون (S4) و ریز رخساره مرجان نومولیتیده رودستون (S6) در بخش پروکسیمال شلف میانی تشکیل شده‌اند. پلت فرم رمپ هموکلینال موجود در بخش بالایی توالی به دو بخش رمپ میانی و رمپ داخلی تقسیم می‌شود.

رمپ میانی

این بخش شامل ریز رخساره‌های با یوکلستیک پلوبئید نومولیتیده پکستون-رودستون (S4)، با یوکلستیک نوروتالیا پلوبئید پکستون (S5)، مرجان نومولیتیده رودستون (S6) و ریز رخساره با یوکلستیک کورالیناسه آکورال پکستون-فلوستون-رودستون (S7) می‌باشد. ریز رخساره‌های با یوکلستیک پلوبئید نومولیتیده پکستون-رودستون (S4) و مرجان نومولیتیده رودستون (S6) در بخش پایینی توالی نیز مشاهده می‌شوند.

رمپ داخلی

تلاطم کم آب، عاملی مهم برای تنوع بالای فرامینیفرهای پورسلانوز که در اعماق کم و در شرایط مزوتری و الیگوتروفی رشد می‌کنند، می‌باشد؛ Reiss and Hottinger, 1984; Romero et al., 2002). ریز خساره‌های با یوکلستیک فرامینیفرا (منفذدار و بدون منفذ) پکستون-گرینستون (S9)، با یوکلستیک فرامینیفرا (بدون منفذ) کورالیناسه آکورال پکستون-گرینستون-رودستون (S10)، با یوکلستیک نوروتالیا میلیولید پلوبئید پکستون-گرینستون (S11)، در یک رمپ داخلی نیمه محصور (Beavington-Penney and Racey, 2004; Geel, 2000; Vaziri - Moghaddam

مدل رسوی

بر اساس نوع رخساره‌ها، تغییرات عمودی آنها، نوع اجزای اسکلتی و مقایسه با محیط‌های قدیمی و امروزی، مدل رسوی سازند شهبازان در ناحیه مورد مطالعه بازسازی شده است (شکل ۴). با توجه به موارد فوق به نظر می‌رسد بخش زیرین سازند شهبازان (از عمق ۳۵۶/۲۵ تا ۳۴۳۶/۲۵ متری) در پلاتفرم کربناته از نوع شلف باز نهشته شده است (شکل ۵). تغییرات ناگهانی رخساره‌ها، وجود خرددهای فراوان بیوکلاستی که از بخش‌های کم‌عمق‌تر به بخش‌های عمیق‌تر حمل شده‌اند و فقدان سد بیوکلاستی تأییدی برای تفسیر است (شکل ۴). بخش بالایی (از عمق ۳۴۳۶/۲۵ تا ۳۳۳۲ متری) با توجه به نبود رسوبات دوباره نهشته شده، وجود میکرات در اکثر رخساره‌ها، وجود رخساره سد و تغییرات تدریجی رخساره‌ها حاکی از تنشیست رسوبات در رمپ کربناته می‌باشد (شکل‌های ۴ و ۵). محیط تشکیل بخش زیرین سازند شهبازان را به دو زیر محیط شلف خارجی و میانی و بخش بالایی را به زیر محیط‌های رمپ میانی و داخلی می‌توان تقسیم کرد.

شلف خارجی^۱

شلف خارجی در سازند مورد مطالعه شامل ریز رخساره با یوکلستیک پلانکتونیک فرامینیفرا پکستون-وکستون (S1) و پلانکتونیک فرامینیفرا با یوکلستیک وکستون-پکستون (S2) می‌باشد و همچنین ریز رخساره پلوبئید با یوکلستیک پکستون (S3) در حدفاصل شلف خارجی و شلف میانی تشکیل شده است. این بخش شامل مقدار فراوانی روزن‌داران پلانکتون شاخص آبهای عمیق بوده و در زیر و بالای قاعده امواج طوفانی و در شرایط الیگو فوتیک تا آفوتیک نهشته شده است (Chaproniere, 1975; Flugel, 2010; Geel, 2000; Pomar, 2001; Romero et al., 2002, Renema, 2006 (شکل ۵).

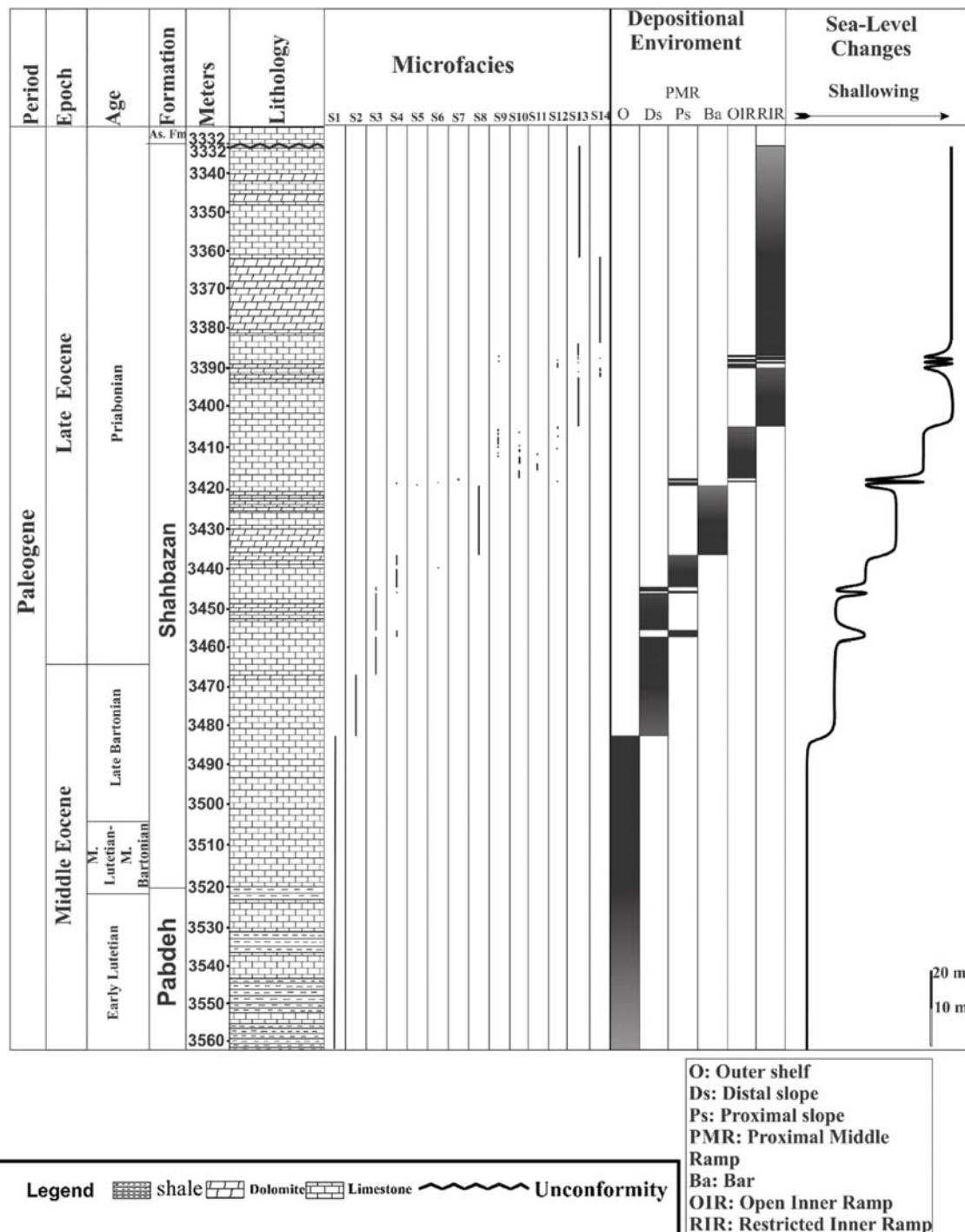
شلف میانی

بخش شلف میانی شامل ریز رخساره‌های با یوکلستیک پلوبئید نومولیتیده پکستون-رودستون (S4) و مرجان

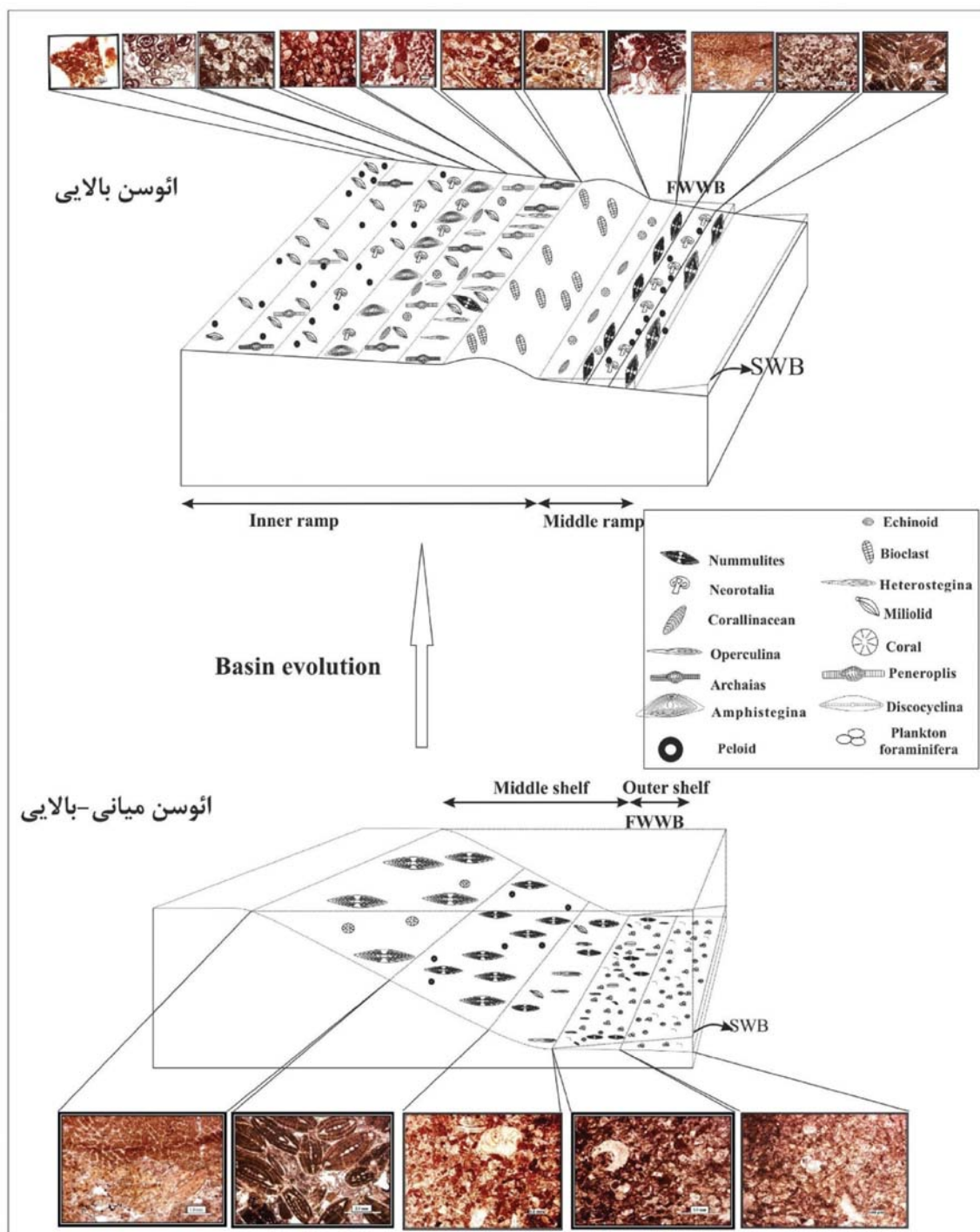
1. Proximal middle shelf

2. Distal middle shelf

پکستون-گرینستون (S13) و بایوکلستیک پلوئید میلیولید و ریز رخساره‌های et al., 2010; Romero et al., 2002) پکستون-پکستون (S14) در یک رمپ داخلی محصور بايوکلستیک نوروتالیا آمفیسترشنا پکستون (S12)، بايوکلستیک پلوئید فرامینیفرا (بدون منفذ) و کستون- تشکیل شده است.



شکل ۴. توزیع رخساره‌ها و منحنی تغییرات سطح آب دریا در سازند شهبازان در چاه شماره ۳ میدان نفتی قلعه نار، لرستان



شکل ۵. توزیع ریزرساره‌ها در سازند شهبازان

عمیق‌تر شلف بالاتر بوده است. این فرایند سبب اختلاف شیب در پلت فرم و ایجاد پلت‌فرم از نوع شلف باز شده است. در این نوع پلت فرم رسوی‌گذاری توسط امواج طوفانی، جزوی‌مدی و جریانات اقیانوسی کنترل شده و رسویات به بخش‌های عمیق‌تر منتقل می‌شوند (Flugel, 2010). احتمالاً رسویات تولید شده در مناطق کم‌عمق به صورت محلول‌هایی با چگالی بالا به دامنه انتقال پیدا کردند («ریز رخساره پلوئید با یوکلستیک پکستون (S3)، ریز رخساره با یوکلستیک پلانکتونیک فرامینیفرا پکستون-وکستون (S1) و ریز رخساره پلانکتونیک فرامینیفرا با یوکلستیک وکستون-پکستون (S2)») (شکل ۷). افزایش ضربی انتقال و رسوی‌گذاری به آرامی حوضه را پر کرده و شیب موجود در حاشیه پلت فرم کاهش پیدا کرده و نهایتاً طی زمان، نوع پلت فرم در ناحیه مورد مطالعه تبدیل به پلت فرم نوع رمپ شده است.

شرایط تکتونیکی حاکم بر حوضه

در طی همگرایی و بسته شده اقیانوس، پلت فرم‌های احاطه شده، بر روی آتشفسان‌های زیردریایی و ریم شلف‌ها و پلت فرم‌های محصور شده با آبهای عمیق در حاشیه کمان‌های آتشفسانی توسعه می‌یابند. در اثر برخورد و تشکیل حوضه فورلنیدی در اثر بالا آمدگی حاشیه حوضه و فروبرختن رسویات از فلات قاره و نرخ بالای تولید، حوضه پر شده رمپ‌ها تشکیل می‌شوند (Read, 1985). سازند مورد مطالعه در حوضه فورلنیدی زاگرس تشکیل شده است در نتیجه می‌توان نتیجه گرفت یکی از عوامل تکامل پلت فرم نوع شلف باز به رمپ هموکلیتال، بالا آمدگی حاشیه حوضه و فروبرختن رسویات از فلات قاره و نرخ بالای تولید باشد که باعث پرشدگی حوضه و از بین رفتن شیب موجود در پلت فرم شده است. از نتایج دیگری که در مطالعه این توالی به دست آمد می‌توان به این مطلب اشاره کرد که در بخش‌های پایین توالی تا عمق ۳۴۳۶ متری که در پلت فرم نوع شلف باز تشکیل شده است، ریز رخساره فرعی ۱-S8-1 (نومولیتیده با یوکلستیک پکستون-گرینستون) حضور ندارد و بعد از ظهر این ریز رخساره فرعی، تغییر پلت فرم در توالی

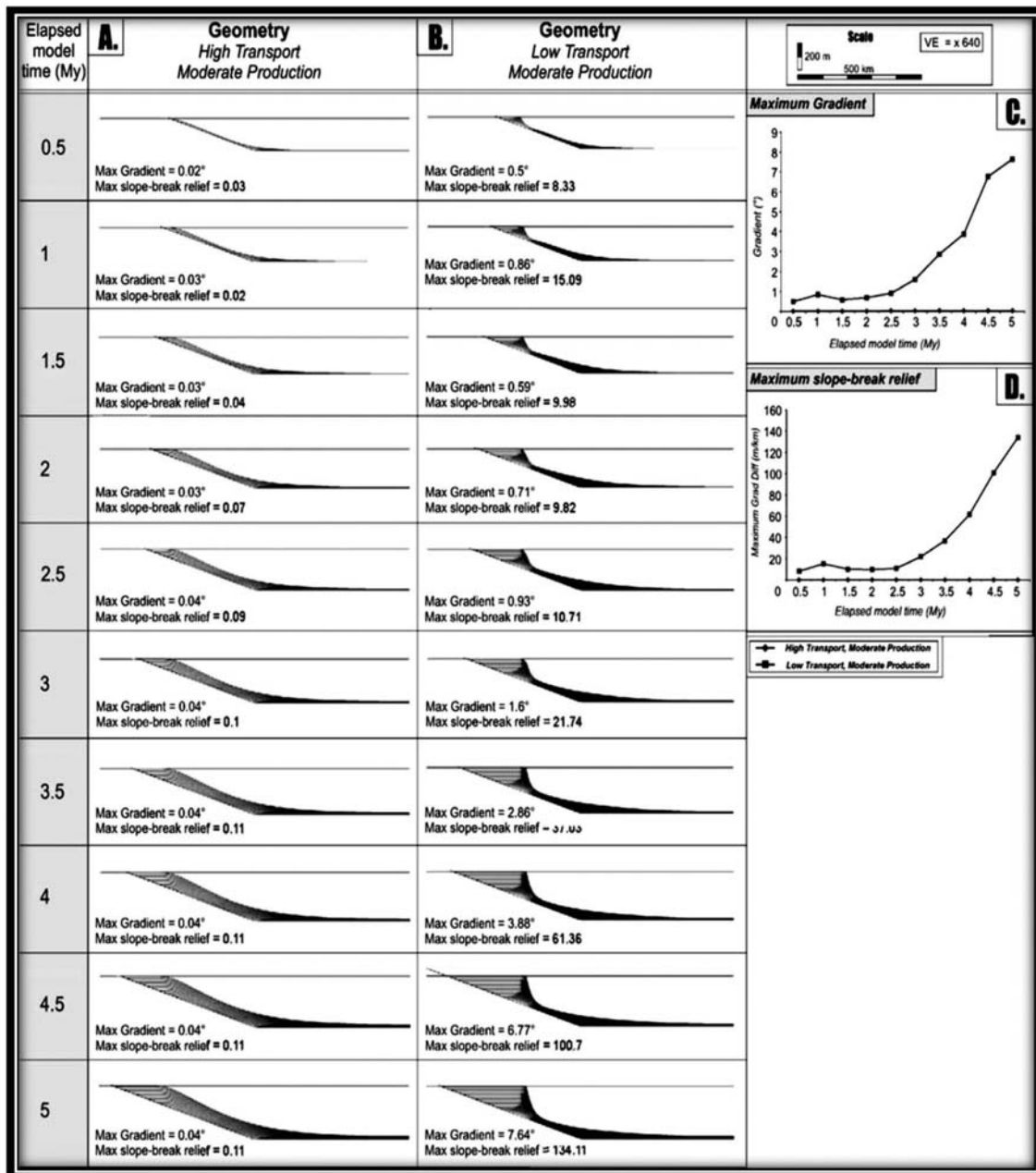
عوامل مؤثر بر تکامل پلت فرم‌های کربناته

پلت فرم‌های کربناته ممکن است در طی زمان و مکان تکامل یافته و به یکدیگر تبدیل شوند. عوامل مختلفی بر تکامل این پلت‌فرم‌ها مؤثر می‌باشند. این عوامل عبارتند از: نرخ تولید و ضربی انتقال، توپوگرافی و مورفولوژی اولیه حوضه رسوی، اندازه دانه، تغییرات سطح آب دریا، آب و هوا و شرایط تکتونیکی حاکم بر حوضه رسوی (Williams et al., 2011). در تبدیل پلات‌فرم کربناته سازند شهبازان نرخ تولید و ضربی انتقال، توپوگرافی و شرایط تکتونیکی حاکم بر حوضه رسوی نقش اساسی داشته است.

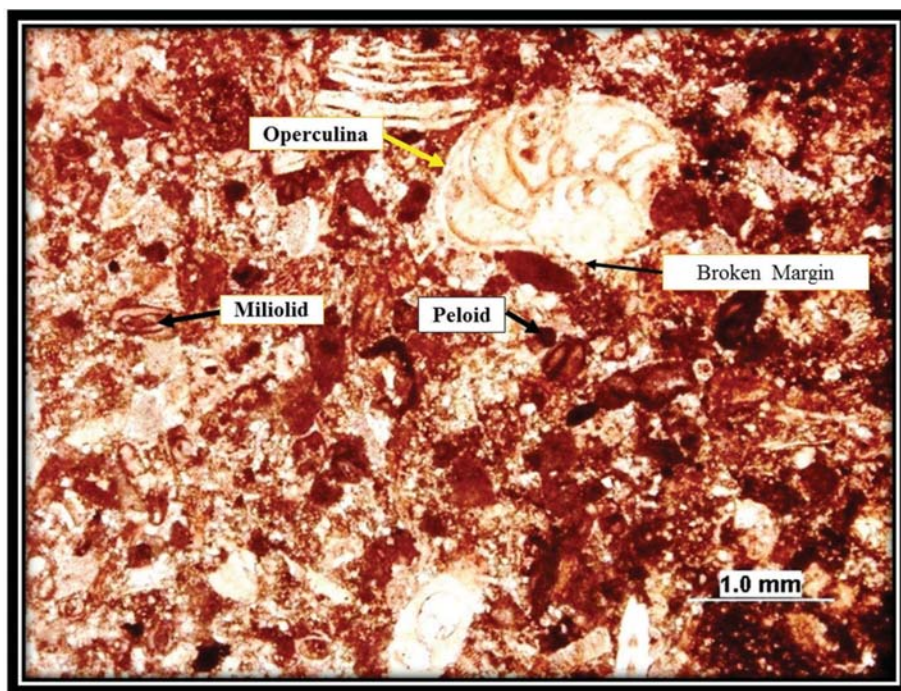
نرخ تولید و ضربی انتقال

نرخ تولید و رسوی‌گذاری در بخش‌های داخلی پلت فرم سعی می‌کند شیب توپوگرافی (اختلاف ارتفاع) بین بخش‌های داخلی و خارجی موجود را افزایش دهد و یا ایجاد کند و انتقال رسویات توسط جریان به طرف عمق از این کار جلوگیری می‌کند. یکی از فاکتورهایی که می‌توان رمپ را از پلت فرم‌هایی که دارای شکستگی حاشیه‌ای هستند تشخیص داد، ضربی انتقال رسوی است که از تشکیل پلت فرم‌های دارای حاشیه شکسته جلوگیری می‌کند. در نتیجه رمپ زمانی که ضربی انتقال رسوی بالا باشد شکل می‌گیرد زیرا به دلیل انتقال رسویات حوضه پر شده، از تشکیل حاشیه پرشیب در پلت فرم‌ها جلوگیری می‌کند (Williams et al., 2011) (شکل ۶). بعضی از محققین معتقدند این خردکار و دانه‌های اسکلتی به صورت محلول‌هایی با چگالی بالا به طرف پایین دامنه پرشیب انتقال می‌یابند و با افزایش آب، چگالی آن‌ها کاهش می‌یابد (Lowe, 1976; Pickering et al., 1986; Einsele, 1991; Nebelsick et al., 2001). شروع حرکت توسط طوفان و زمین‌لرزه یا همزمانی رسوی‌گذاری با حرکت‌های تکتونیکی از جمله عواملی هستند که برای جابجایی و انتقال رسویات توسط جریان یافتن محلول‌هایی با چگالی بالا در نظر گرفته شده‌اند (Nebelsick et al., 2001). با توجه به مطالب ذکر شده، در بخش‌های پایین توالی، احتمالاً نرخ تولید و رسوی‌گذاری در بخش‌های کم‌عمق شلف از ضربی انتقال رسوی به بخش

این مطلب با مطالب گفته شده قبلی در مورد کاهش سطح فرعی رسیدن سطح بستر دریا به نزدیکی قاعده امواج عادی می‌باشد که باعث تشکیل چنین ریز رخساره‌ای شده است.



شکل ۶. (A) برش عرضی در طول زمان که نشان‌دهنده ضریب انتقال رسوبات و تولید بالا و ایجاد و حفظ پلت فرمی از نوع رمپ هموکلینال است که در چاه مورد مطالعه از بخش‌های پایینی توالی (از عمق ۳۴۳۶/۲۵ تا ۳۵۶۰ متری) (پلت فرم شلف باز) به سمت بخش بالایی توالی (از عمق ۳۴۳۶/۲۵ تا ۳۳۳۲ متری) (پلت فرم رمپ هموکلینال) احتمالاً چنین روندی وجود داشته است. (B) برش عرضی در طول زمان که نشان‌دهنده ضریب انتقال رسوبات پایین و تولید بالا و همچنین ایجاد پلت فرم‌های دارای حاشیه شکسته است (Williams et al., 2011).



شکل ۷. رخساره پلوئید بایوکلستیک پکستون (S3). آلوکم‌های اسکلتی اکثراً حمل شده و دارای حاشیه فرسایشی و شکسته می‌باشد

که عوامل مؤثر در این تکامل عبارتند از: نرخ تولید و ضربیت انتقال و شرایط تکتونیکی حاکم بر حوضه رسوی.

منابع

- آقاباتی، ع. ۱۳۸۵. زمین‌شناسی ایران. سازمان زمین‌شناسی و اکتشافات معدنی کشور، ۵۸۶.
- بختیاری، س. ۱۳۹۲. اطلس راههای ایران. موسسه جغرافیایی و کارتوگرافی گیتاشناسی، ۱:۱۰۰۰۰۰.
- سراج، م. ۱۳۸۴. تحلیل ساختاری مقدماتی میادین نفتی مناطق نفت‌خیز جنوب (محدوده فروافتادگی دزفول). شرکت ملی مناطق نفت‌خیز جنوب، ۱۱۹.
- عظیمی، م. ص. ۱۳۹۱. دیاژنز و کیفیت مخزنی سازند آسماری در میدان نفتی قلعه نار، پایان‌نامه کارشناسی ارشد، دانشگاه تهران، ۱۶۵.
- قبرللو، ح. و زیری مقدم، ح.، صیرفیان، ع.، طاهری، ع. و رحمانی، ع.، ۱۳۹۴. زیست چینه‌نگاری سازندهای شهبازان و آسماری در چاه شماره ۳ میدان نفتی قلعه نار، لرستان، دو فصلنامه دیرینه‌شناسی، "در حال چاپ".
- مطیعی، م. ۱۳۷۲. زمین‌شناسی ایران (چینه‌نگاری زاگرس). انتشارات سازمان زمین‌شناسی، ۵۸۳.
- Basso, D., 1998. Deep rhodolith distribu-

نتیجه‌گیری

نهشتنهای سازند شهبازان در چاه شماره ۳ میدان نفتی قلعه نار (جنوب غرب لرستان) با محدوده مختصاتی $48^{\circ}17'44''$ عرض شمالی و $32^{\circ}43'54''$ طول شرقی دارای ضخامت ۲۲۸ متر است و مرز پایینی آن با سازند پابده به صورت تدریجی و مرز بالایی آن با سازند آسماری با توجه به مجموعه فونی در این دو سازند، به صورت ناپیوسته می‌باشد. این سازند عمدتاً از آهک و دولومیت تشکیل شده است و سن سازند شهبازان در چاه مورد مطالعه ائوسن میانی (اوایل لوتنین) تا ائوسن بالایی (پریابونین) می‌باشد. در سازند شهبازان در برش چاه شماره ۳ میدان نفتی قلعه نار ۱۴ ریز رخساره مورد شناسایی قرار گرفت که شش ریز رخساره به دریای باز در بخش‌های میانی و خارجی یک شلف باز و ۱۰ ریز رخساره در پلت فرم رمپ هموکلینال به بخش‌های رمپ میانی و داخلی تعلق دارد. پلت فرم نوع شلف باز متعلق به بخش پایین توالی (از عمق $3436/25$ تا $356/25$ متری) و پلت فرم نوع رمپ هموکلینال متعلق به بخش بالای توالی (از عمق $3436/25$ تا 3332 متری) است. پلت فرم نوع شلف باز در طی زمان به رمپ هموکلینال تکامل پیدا کرده است

- tion in the Pontion Island, Italy: a model for the paleoecology of a temperate sea. *Palaeogeography, Palaeoclimatology, Palaeoecology*, 137, 173–187.
- Beavington-Penney, S.J., and Racey, A., 2004. Ecology of extant nummulitids and other larger benthic foraminifera: applications in paleoenvironmental analysis. *Earth Sciences*, 67, 219–265.
 - Beavington-Penney, S.J., Wright, V.P., and Racey, A., 2005. Sediment production and dispersal on foraminifera-dominated early Tertiary ramps: the Eocene El Garia Formation, Tunisia. *Sedimentology*, 52, 573–569.
 - Berberian, M., and King, G.C.P., 1981. Towards the paleogeography and tectonic evolution of Iran. *Canadian Journal of Earth Sciences*, 18, 210–265.
 - Brandno, M., Frezza, V., Tomassetti, L., Pedley, M., and Matteucgi, R., 2009. Facies analysis and paleoenvironmental interpretation of the Late Oligocene Attard Member (Lower coralline limestone formation), Malta. *Sedimentology*, 56 (4), 1–26.
 - Chaproniere, G.C.H., 1975. Paleoecology of Oligo-Miocene larger foraminifera. *Alcheringa*, 1 (1), 37–58.
 - Cosovic, V., Drobne, K., and More, A., 2004. Paleoenvironmental model for Eocene foraminiferal limestones of the Adriatic carbonate platform (Istrain Peninsula). *Facies*, 50, 61–75.
 - Dunham, R.J., 1962. Classification of carbonate rocks according to their depositional texture, in W.E., Ham, (ed.), *Classification of carbonate rocks*. American Association of Petroleum Geologists Memoir, 1, 108–121.
 - Einsele, G., 1991. Submarine mass flow deposits and turbidities. *Cycles and Events in Stratigraphy*, 2(7), 313–339.
 - Embry, A.F., and Klovan, J.E., 1971. Late Devonian reef tract on northeastern Banks Island, Northwest territories. *Bulletin of Canadian Petroleum Geology*, 19, 730–781.
 - Falcon, N.L., 1974. Southern Iran: Zagros Mountains. In: Spencer, A. (Ed.) *Mesozoic-Cenozoic Orogenic Belts*. Geological Society London Special Publications, 4, 199–211.
 - Flugel, E., 2010. *Microfacies of Carbonate Rocks, Analysis, Interpretation and Application*. Berlin, Springer, 976.
 - Geel, T., 2000. Recognition of Stratigraphic sequence in carbonate platform and slope deposits: empirical models based on microfacies analyses of palaeogene deposits in southeastern Spain. *Palaeogeography, Palaeoclimatology, Palaeoecology*, 155, 211–238.
 - Hottinger, L., 1997. Shallow benthic foraminiferal assemblages as signals for depth of their deposition and their limitations. *Bulletin de la Societ Geologique de France*, 168, 491–505.
 - Hottinger, L., 1987. Conditions for generating carbonate platforms. *Memorie della Societa Geologica Italiana*, 40, 265–271.
 - Knoerich, A.C., and Mutti, M., 2003. Controls of facies and sediment composition on the diagenetic pathway of shallow water Heterozoa carbonates: the Oligocene of the Maiteze Islands. *International Journal of Earth Sciences*, 92(4), 494–510.
 - Kovacs, S., and Arnaud-Vanneau, A.A., 2004. Upper Eocene paleobathymetry approach based on paleoecological assemblages from the Plesca Valley 2. Outcrop, transylva Nia. *ACTA Paleontologica Romaniae*, 4, 191–202.
 - Lowe, D.R., 1976. Grain flows and grain flow deposits. *Journal of Sedimentary Petrology*, 46, 188–199.
 - Nebelsick, J.H., Stingl, V., and Rasser,

- M., 2001. Autochthonous facies and allochthonous debris flows compared: Early Oligocene carbonate facies patterns of the Lower Inn Valley (Tyrol, Austria). *Facies*, 44, 31–46.
- Pickering, K., Stow, D.A.V., Watson, M.P., and Hiscott, R.N., 1986. Deep water facies, processes and models: a review and classification scheme for modern and ancient sediments. *Earth- Science Reviews*, 23, 75– 174.
 - Pomar, L., 2001. Types of carbonate platforms: a genetic approach. *Basin Research*, 13, 313–334.
 - Rasser, M.W., Scheibner, C., and Mutti, M., 2005. A paleoenvironmental standard section for Earthy Ilerdian tropical carbonate factories (Corbieres, France; Pyrenees, Spain). *Facies*, 51, 217–232.
 - Reiss, Z., and Hottinger, L., 1984. The Gulf of Aqaba, Ecological micropaleontology. Springer-Verlag, 50, 1–354.
 - Read, J.F., 1985. Carbonate platform facies models. *Geological Society of America Bulletin*, 69 (1), 1–21.
 - Renema, W., 2006. Large benthic foraminifera from the deep photic zone of a siliciclastic carbonate shelf of East Kalimantan, Indonesia. *Marine Micropaleontology*, 58, 73–82.
 - Romero, J., Caus., E., and Rossel, J., 2002. A model for the paleoenvironmental distribution of larger foraminifera based on late Eocene deposit on the margin of the south Pyrenean basin (SE Spain). *Paleogeography, Palaeoclimatology, Palaeoecology*, 179, 43–56.
 - Vaziri-Moghaddam, H., Seyrafian, A., Taheri, A., and Motiei, H., 2010. Oligocene-Miocene ramp system (Asmari Formation) in the NW of the Zagros basin, Iran, microfacies, paleoenvironment and depositional sequence. *Revista Mexicana de Ciencias Geológicas*, 27, 1, 56–71.
 - Vaziri-Moghaddam, H., Kimiagari, M., and Taheri, A., 2006. Depositional environment and sequence stratigraphy of the Oligo-Miocene Asmari Formation in SW Iran. *Facies*, 52 (1), 41–51.
 - Williams, H.D., Burgess, P.M., Wright, V.P., Porta, G.D., and Granjeon, D., 2011. Investigating carbonate platform types: multiple controls and a continuum of geometries. *Journal of Sedimentary Research*, 81, 18–37.
 - Wilson, J.L., 1975. *Carbonate Facies in Geologic History*, New York, Springer Verlag, 471.
 - Wright, V.P., 1992. A revised classification of limestones. *Sedimentary Geology*, 76 (3), 177–185.